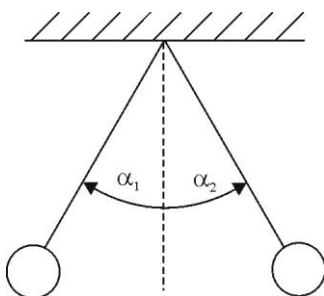


III Elektryczność i magnetyzm

14. Pole elektryczne, kondensatory, przewodniki i dielektryki.

Wybór i opracowanie zadań 14.1. – 14.53.: Andrzej Kuczkowski.

14.1. Dwie niewielkie, przewodzące kulki o masach równych odpowiednio m_1 i m_2 naładowane ładunkami q_1 i q_2 zawieszone są na równych niciach o długości l (jak na rysunku).



(a) Jakie warunki muszą spełniać masy m_1 i m_2 oraz ładunki aby kąty odchylenia nici od pionu spełniały warunek: $\alpha_1 = \alpha_2 = \alpha$? (b) Oblicz sumaryczny ładunek obu kulek, jeżeli po naładowaniu kąt między niemi wynosi 90° przy założeniu, że rozmiary i masy obu kulek są równe: $m_1 = m_2 = m = 0,1$ g długości nici: $l = 10$ cm, a kulki przed naładowaniem stykały się ze sobą.

14.2. Dwie niewielkie, przewodzące kulki o jednakowych rozmiarach i ciężarach: $G = 0,05$ N zawieszono na równych niciach o długościach: $l = 10$ cm tak, że powierzchnie stykały się. Jakim ładunkiem q_c należy naładować kulki aby napięcie nici N wynosiło $0,1$ N?

14.3. Czy dwa rozciągle, przewodzące ciała naładowane ładunkami jednoimiennymi, będą zawsze się odpychały?

14.4. Jak należy rozdzielić ładunek Q na dwie kulki, aby siła wzajemnego oddziaływania między kulkami była największa? Oblicz wartość tej siły.

14.5. Jaś zrobił sobie smalec ze skwarkami i stopiony, jeszcze przed wlaniem do słoiczka, posolił. Niestety sól nie rozpuściła się w tłuszczu i opadła na dno patelni. Spróbuj wyjaśnić Jasiowi dlaczego tak się stało.

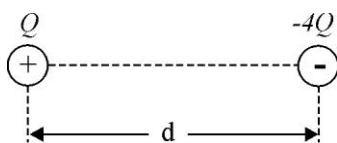
14.6. Czy można bezpośrednio posłużyć się prawem Coulomba w celu obliczenia siły, z jaką przyciągają się okładki naładowanego kondensatora?

14.7. Oblicz siłę działającą na punktowy ładunek $q = 5 \cdot 10^{-9}$ C, znajdujący się w środku równomiernie naładowanego ładunkiem $Q = 3 \cdot 10^{-7}$ C półokręgu o promieniu $R = 5$ cm.

14.8. Cztery jednakowe ładunki Q umieszczono w wierzchołkach kwadratu. Gdzie i jaki ładunek q należy umieścić, aby układ znalazł się w równowadze? W jakiej równowadze znajdują się ładunki?

14.9. Pole elektryczne jest wytwarzane przez trzy ładunki Q , $2Q$ i $-3Q$, umieszczone w wierzchołkach trójkąta równobocznego o boku a . Oblicz potencjał w środku odcinka łączącego ładunki Q i $2Q$.

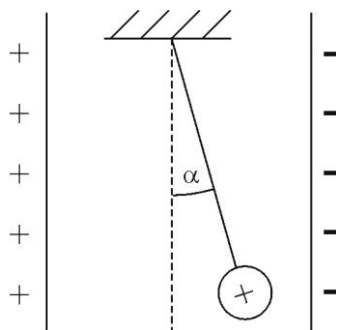
14.10. Na końcach odcinka o długości d znajdują się ładunki $Q > 0$ i $-4Q$.



W jakich punktach prostej przechodzącej przez ładunki: (a) natężenie pola równa się zero, (b) potencjał pola równa się zero, (c) występuje minimum (lokalne) potencjału?

14.11. Potencjał w pewnym punkcie pola pochodzącego od ładunku punktowego wynosi $V = 600 \text{ V}$, a natężenie pola wynosi $E = 200 \text{ N/C}$. Oblicz wielkość ładunku i odległość tego punktu od ładunku. Przyjmij $\epsilon_r = 1$.

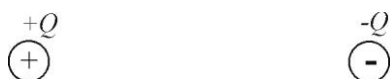
14.12. Mała kulka o masie $m = 0,2 \text{ g}$ wisi na nici między dwiema naładowanymi płytami. Kulka naładowana jest ładunkiem $q = 6 \cdot 10^{-9} \text{ C}$.



Ile wynosi różnica potencjałów między płytami, jeżeli nić tworzy z pionem kąt $\alpha = 10^\circ$, a odległość między płytami $d = 0,1 \text{ m}$?

14.13. Narysuj linie sił pola elektrycznego oraz powierzchnie stałego potencjału dla przedstawionych poniżej układów ładunków elektrycznych:

(a)



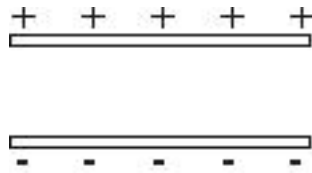
(b)



(c)

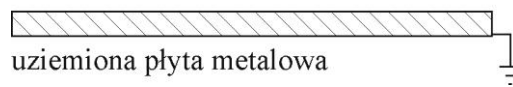


(d)

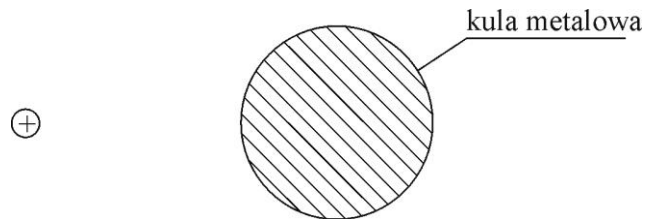


14.14. Jak wpływają przedmioty przewodzące na rozkład pola elektrycznego? Narysuj linie sił pola elektrycznego i powierzchnie ekwipotencjalne dla poniższych układów:

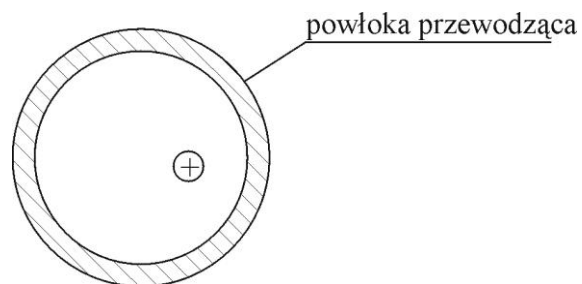
(a)



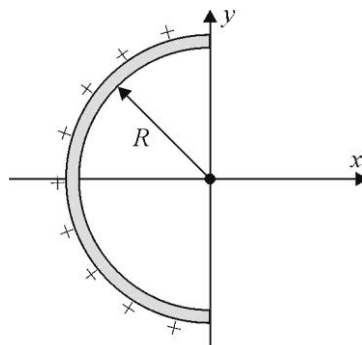
(b)



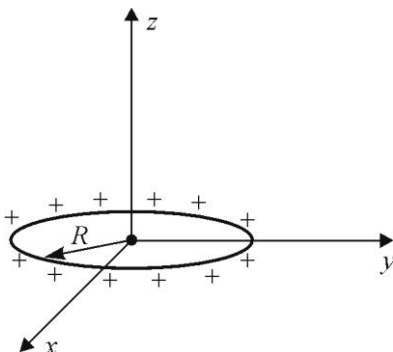
(c)



14.15. Oblicz potencjał i natężenie pola elektrycznego w środku półpłaszczyzny o promieniu R naładowanego równomiernie ładunkiem Q .



14.16. Druciany pierścień o promieniu R naładowany jest równomiernie ładunkiem Q . Oblicz i wykreśl zależność potencjału i natężenia pola elektrycznego od tego pierścienia dla punktów znajdujących się na osi prostopadłej do powierzchni pierścienia. Wartości natężenia pola elektrycznego wyznacz dwoma metodami: (a) metodą superpozycji pól oraz (b) ze związku $\vec{E} = -\text{grad}V$.



14.17.* Oblicz natężenie pola elektrycznego na symetralnej odcinka o długości $2a$ naładowanego ze stałą gęstością ładunku liniowego λ . Wykaż, że pole to staje się w granicznych przypadkach polem elektrycznym: (a) nieskończenie długiego przewodnika, (b) ładunku punkowego.

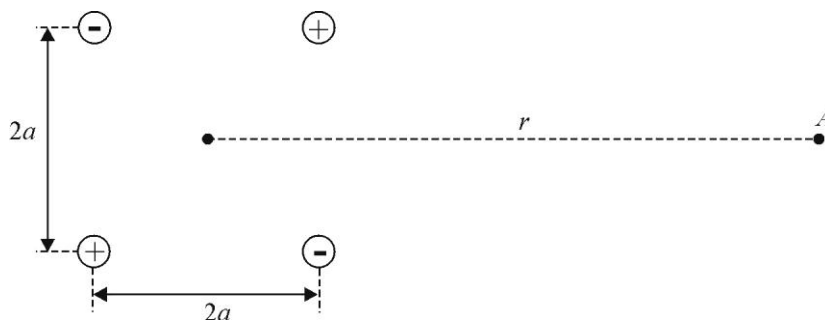
14.18.* Oblicz potencjał i natężenie pola elektrycznego na osi symetrii prostopadłej do powierzchni naładowanego ładunkiem Q krążka o promieniu R . Wykaż, że pole to staje się w skrajnym przypadku polem elektrycznym: (a) płaszczyzny nieskończonej, (b) ładunku punkowego.

14.19.* Potencjał pola elektrycznego określony jest równaniem: $V = a(x^2 + y^2) + bz^2$, gdzie $a > 0$, $b > 0$. (a) Jaki jest kształt powierzchni ekwipotencjalnych? (b) Wyznacz wektor natężenia pola elektrycznego \vec{E} i jego moduł E . (c) Jaki jest kształt powierzchni, na których $E = \text{const}$? (d) Jaki kształt będą miały powierzchnie ekwipotencjalne gdy potencjał będzie określony równaniem: $V = a(x^2 + y^2) - bz^2$ gdzie $a > 0$, $b > 0$?

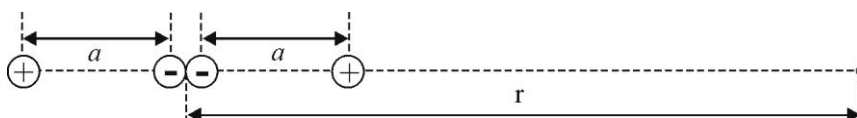
14.20. Korzystając z zasady superpozycji oddziaływań, oblicz potencjał i natężenie pola elektrycznego od układu dwóch ładunków $+Q$ i $-Q$ oddległych od siebie o d (dipol elektryczny) w odległości r od środka dipola: (a) na symetralnej odcinka łączącego obydwa ładunki, (b) na prostej łączącej obydwa ładunki.

14.21.* Oblicz potencjał i wartości bezwzględne natężenia pola elektrycznego dipola o momencie p jako funkcję r i ϕ , gdzie r oznacza odległość od środka a ϕ kąt między osią dipola i prostą łączącą środek dipola z danym punktem.

14.22. Układ czterech ładunków q rozmieszczonych w narożach kwadratu o boku $2a$ jak na rysunku tworzy kwadrupol. Oblicz potencjał i natężenie pola elektrycznego w punkcie leżącym w odległości $r > a$ od środka kwadrupola (patrz rysunek):



14.23. Kwadrupolem liniowym nazywamy układ czterech ładunków q umieszczonych na jednej prostej, jak na rysunku. Układ ten możemy traktować jako składający się z dwóch stykających się dipoli. Oblicz potencjał i natężenie pola elektrycznego na osi kwadrupola w odległości $r \gg a$.



14.24. W jednorodnym polu elektrycznym o natężeniu $E = 2 \cdot 10^3 \text{ V/m}$ znajduje się dipol elektryczny o momencie dipolowym $p = 5 \cdot 10^{-3} \text{ C}\cdot\text{m}$. Narysuj siły działające na dipol oraz oblicz moment tych sił, jeżeli oś dipola tworzy z polem elektrycznym kąt $\alpha = 30^\circ$.

14.25 Dipol o momencie $p = 5 \cdot 10^{-3} \text{ C}\cdot\text{m}$ znajduje się w niejednorodnym polu elektrycznym o gradiencie $\frac{\Delta E}{\Delta x} = 1 \frac{\text{V}}{\text{m}^2}$. Oblicz siłę wywieraną przez pole na dipol w tym polu.

14.26 Na dipol elektryczny w niejednorodnym polu elektrycznym działa siła wciągająca lub wypychająca go z pola w zależności od ustawienia dipola. Wyjaśnij, dlaczego skrawki papieru są zawsze przyciągane do naelektryzowanej pałeczki.

14.27. W polu elektrycznym wytworzonym przez punktowy ładunek q w odległości r od niego znajduje się dipol elektryczny o momencie p . Oblicz siłę, jakiej doznaje dipol od ładunku punkowego, w przypadku, gdy ładunek q znajduje się: (a) na osi dipola, (b) na symetralnej dipola.

14.28. Wyznaczyć wartość momentu siły działającego na dipol o momencie dipolowym p umieszczony w odległości r od bardzo dużej okrągłej płyty metalowej o promieniu R ($R \gg r$) naładowanej ładunkiem ujemnym o gęstości powierzchniowej $-\sigma$. Dipol jest ustawiony pod kątem 45° do płyty.

14.29. Korzystając z prawa Gaussa, wyznaczyć natężenie pola elektrycznego wytworzonego przez płaszczyzną naładowaną równomiernie ładunkiem o gęstości powierzchniowej σ .

14.30. Nieprzewodzącą kulę o promieniu R naładowano jednorodnie ładunkiem o gęstości objętościowej ρ . Oblicz zależność potencjału i natężenia pola elektrycznego w funkcji odległości od środka kuli. Przedstaw graficznie otrzymane zależności. Przyjmij $\epsilon_r = 1$ wewnątrz kuli.

14.31. Metalową kulę o promieniu R naładowano ładunkiem q . (a) Oblicz i wykreśl zależność potencjału i natężenia pola elektrycznego w funkcji odległości od środka kuli. (b) Jak zmieni się rozkład pola elektrycznego, gdy zamiast metalowej, użyjemy kuli z dielektryka naładowanej powierzchniowo ładunkiem q .

14.32. Nieskończenie długą prostą nić znajdującą się w próżni naładowano ze stałą gęstością liniową ładunku $\lambda = 2 \cdot 10^{-6} \text{C/m}$. (a) Wyznacz moduł natężenia pola E i potencjał V jako funkcję odległości r od nici. (b) Oblicz E i V dla $r = 10 \text{m}$.

14.33. Ładunki o przeciwnych znakach są rozłożone ze stałymi gęstościami powierzchniowymi $+\sigma$ i $-\sigma$ odpowiednio na dwóch metalowych płaszczyznach nieskończonych, równoległych względem siebie i oddalonych o d . (a) Oblicz i wykreśl zależność potencjału i natężenia pola elektrycznego w funkcji odległości między płytami. (b) Jak zmieni się rozkład pola, gdy jedną z płyt połączymy z ziemią?

14.34. Oblicz pojemność odosobnionej kulki metalowej o promieniu R .

14.35. Oblicz, korzystając z definicji pojemności elektrycznej, pojemność kondensatora: (a) płaskiego, (b) kulistego, (c) walcowego.

14.36. Płaski kondensator naładowano do napięcia U_0 i odłączono od źródła. Jak zmieni się: (a) napięcie na kondensatorze, (b) natężenie pola elektrycznego, (c) ładunek na okładkach, jeżeli okładki zsuniemy na n razy mniejszą odległość?

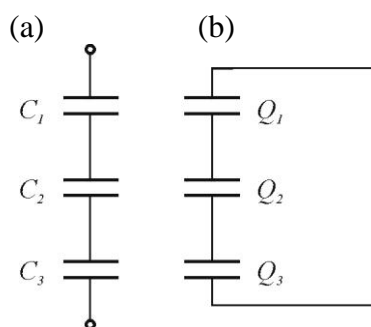
14.37. Płaski kondensator połączono z biegunami akumulatora o sile elektromotorycznej E . Jak zmieni się ładunek Q na kondensatorze, jeżeli zsuniemy okładki na n razy mniejszą odległość? Jak zmieni się wówczas natężenie pola elektrycznego?

14.38. Do dwóch szeregowo połączonych kondensatorów o pojemnościach $C_1 = 100 \text{pF}$ i $C_2 = 200 \text{pF}$ przyłożono stałe napięcie $U = 300 \text{V}$. Oblicz napięcia U_1 i U_2 na kondensatorach i ładunki q_1 i q_2 na ich okładkach. Jaka jest pojemność C tego układu?

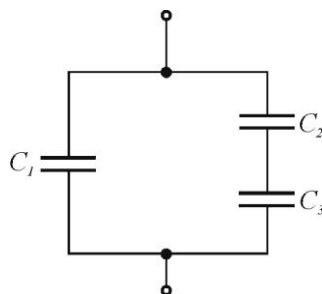
14.39. Płaski kondensator powietrzny, o odległości między okładkami d , naładowano ładunkiem Q . (a) Jak zmieni się natężenie pola elektrycznego po wprowadzeniu między okładki, równoległe do nich, metalowej płytki o grubości l ? Powierzchnie okładek i płytki wynoszą S . (b) Oblicz pojemność C układu z płytką. (c) Jak zmieni się napięcie między okładkami w wyniku wprowadzenia płytki?

14.40. Kulka rtęci, naładowana do potencjału V , podzieliła się na dwie kulki, z których jedna ma n razy większą objętość od drugiej. Do jakich potencjałów będą naładowane te kulki?

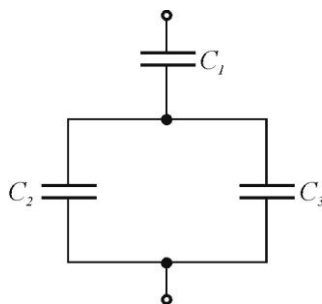
14.41. Każdy z trzech kondensatorów o pojemnościach C_1 , C_2 , C_3 naładowano do napięcia U i następnie, po odłączeniu źródła napięcia, wszystkie połączone szeregowo (rys. a) Oblicz ładunki Q_1 , Q_2 , Q_3 na okładkach kondensatorów tak otrzymanego układu kondensatorów po zwarcu ich przewodnikiem (rys. b).



14.42. Trzy kondensatory o pojemnościach C_1 , C_2 , i C_3 połączono jak na rysunku i naładowano ładunkiem Q . Oblicz ładunki na okładkach każdego z kondensatorów.



14.43. Trzy kondensatory o pojemnościach C_1 , C_2 , i C_3 połączono jak na rysunku i naładowano ładunkiem Q . Oblicz ładunki na okładkach każdego z kondensatorów.



14.44. Ile razy trwały moment dipolowy cząsteczki tlenku węgla CO, który wynosi $p_0 = 0,37 \cdot 10^{-30} \text{ C} \cdot \text{m}$, jest większy od momentu dipolowego indukowanego w tej cząsteczce przez zewnętrzne pole elektryczne o natężeniu $E = 10^4 \text{ V/cm}$? Średnia polaryzowalność elektronowa cząsteczki CO wynosi $\alpha = 2,2 \cdot 10^{-40} \text{ F} \cdot \text{m}^2$.

14.45. W odległości $r = 15 \cdot 10^{-10} \text{ m}$ od atomu argonu znajduje się elektron. Oszacuj moment dipolowy indukowany w atomie argonu przez pole elektryczne elektronu. Polaryzowalność elektronowa atomu argonu wynosi $\alpha = 1,8 \cdot 10^{-40} \text{ F} \cdot \text{m}^2$.

14.46. Momenty dipolowe molekuł równają się sumie wektorowej odpowiednich momentów dipolowych wiązań. Oblicz moment dipolowy wiązania OH w molekułe wody, jeżeli moment dipolowy molekuły wody równa się $6,2 \cdot 10^{-30} \text{ C} \cdot \text{m}$, a kąt między wiązaniami OH wynosi 104° .

14.47. Stała elektryczna diamentu wynosi $\varepsilon = 1,46 \cdot 10^{-10} \text{ C}^2/(\text{N} \cdot \text{m}^2)$. Znajdź względną przenikalność ε_r i podatność dielektryczną χ diamentu. Ile wynosi polaryzowalność jednostki objętości i jednego mola diamentu? Gęstość diamentu $\rho = 3,51 \text{ g/cm}^3$, masa molowa $\mu = 12 \text{ g/mol}$. Skorzystaj ze wzorów na wektor polaryzacji: $\vec{P} = \varepsilon_0(\varepsilon_r - 1)\vec{E} = n_0\alpha\vec{E}$, gdzie n_0 oznacza koncentrację dipoli.

14.48. Jak zmieni się: (a) pojemność elektryczna, (b) ładunek na okładkach, (c) napięcie, (d) natężenie pola elektrycznego, jeżeli między elektrody kondensatora płaskiego o pojemności C_0 wsuniemy dielektryk o przenikalności ε_r i grubości d równej odległości między okładkami kondensatora? Rozpatrz dwa przypadki: (I) Kondensator po naładowaniu do napięcia U_0 odłączono od źródła. (II) Kondensator jest cały czas podłączony do źródła o napięciu U_0 .

14.49. Kondensator płaski, którego okładki są oddalone o $l = 1 \text{ cm}$ wypełniony jest olejem ($\varepsilon_r = 5$). Jakie napięcie należy przyłożyć do kondensatora, aby gęstość ładunków polaryzacyjnych na oleju wynosiła $\sigma = 6,2 \cdot 10^{-10} \text{ C/cm}^2$?

14.50. Płaski kondensator próżniowy naładowano tak, że natężenie pola wynosi w nim $E_0 = 100 \text{ MV/m}$. Następnie wypełniono go dielektrykiem, którego drobiny są sztywnymi dipolami o momencie $p_e = 0,5 \cdot 10^{-29} \text{ C} \cdot \text{m}$. Koncentracja dipoli $n = 10^{26} \text{ m}^{-3}$. Oblicz średnią wartość natężenia pola elektrycznego wewnątrz dielektryka, pomijając wpływ ruchów cieplnych drobin.

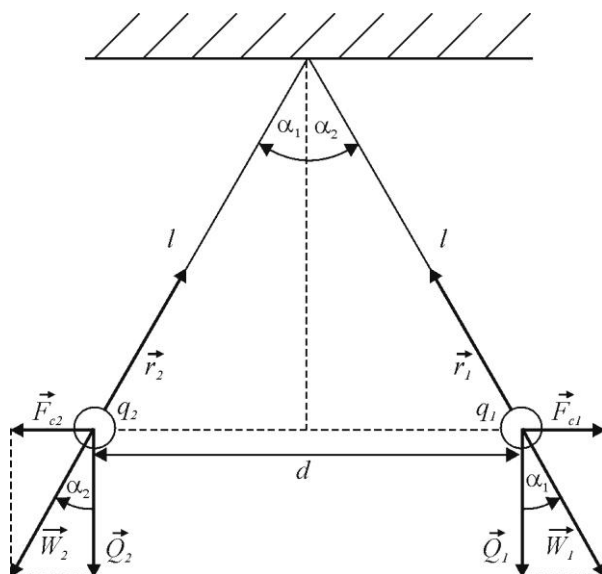
14.51. Oblicz gęstość ładunków polaryzacyjnych na powierzchni płytki mikowej ($\varepsilon_r = 7$) o grubości $l = 0,2 \text{ mm}$, wypełniającej całkowicie płaski kondensator naładowany do napięcia $U_0 = 400 \text{ V}$. Jak i o ile zmieni się napięcie na kondensatorze po wyjęciu płytki?

14.52. Płaski kondensator powietrzny, o pionowo ustawionych okładkach oddległych o d , naładowano i zanurzono częściowo w cieczy o względnej przenikalności dielektrycznej ε_r . Oblicz stosunek ładunków elektrycznych i natężeń pól elektrycznych w obu częściach kondensatora, jeżeli wysokość okładek wynosi H , a wysokość zanurzonej części jest h .

14.53. Płaski kondensator o powierzchni elektrod $S = 100 \text{ cm}^2$ oddalonych od siebie o $d = 1 \text{ cm}$ naładowano do napięcia $U_0 = 100 \text{ V}$ i odłączono od źródła. Następnie obszar między okładkami kondensatora ściśle wypełniono dwiema płytkami dielektrycznymi o grubościach $d_1 = 2 \text{ mm}$ i $d_2 = 8 \text{ mm}$, oraz stałych dielektrycznych $\varepsilon_{r1} = 2$ i $\varepsilon_{r2} = 4$. Oblicz: (a) Ładunek swobodny na okładkach kondensatora. (b) Wartości wektorów natężenia pola elektrycznego \vec{E} , indukcji elektrostatycznej \vec{D} i polaryzacji elektrycznej \vec{P} w obu dielektrykach. (c) Napięcie na kondensatorze po włożeniu płytki. (d) Pojemność kondensatora z obu dielektrykami.

Rozwiązania:

14.1.R.



(a) Jednoimiennie naładowane kulki odpychają się siłami $F_{e1} = F_{e2} = F_c$ (zgodnie z III zasadą dynamiki).

$$F_c = k \frac{q_1 q_2}{d^2},$$

gdzie:

$$k = \frac{1}{4\pi\epsilon_0}.$$

$$\left. \begin{aligned} \operatorname{tg} \alpha_1 &= \frac{F_c}{Q_1} = \frac{F_c}{m_1 g} \\ \operatorname{tg} \alpha_2 &= \frac{F_c}{Q_2} = \frac{F_c}{m_2 g} \end{aligned} \right\} \Rightarrow \begin{aligned} \alpha_1 &= \alpha_2 \text{ wtedy, gdy} \\ m_1 &= m_2 = m. \\ \text{Ładunki } q_1 \text{ i } q_2 &\text{ mogą być różne.} \end{aligned}$$

(b) Ponieważ kąt $\alpha_1 + \alpha_2 = 2\alpha = 90^\circ$, więc kąt $\alpha = 45^\circ$, stąd:

$$(1) \quad \operatorname{tg} \alpha = \operatorname{tg} 45^\circ = 1$$

$$(2) \quad \operatorname{tg} \alpha = \frac{F_c}{Q} = \frac{\frac{1}{4\pi\epsilon_0} \frac{q^2}{d^2}}{mg} = \frac{q^2}{4\pi\epsilon_0 mg d^2}.$$

Ładunki obu kulek są równe: $q_1 = q_2 = q$, bo kulki mają te same rozmiary, są przewodzące, oraz stykały się ze sobą przed naładowaniem.

Z równań (1) i (2) otrzymujemy:

$$(3) \quad q^2 = 4\pi\epsilon_0 mgd^2.$$

Ponieważ $d = \sqrt{2} \cdot l$ (przekątna kwadratu), więc równanie (3) możemy zapisać w postaci:

$$q = 2l\sqrt{2\pi\epsilon_0 mg} = 4,7 \cdot 10^{-6} \text{ C}.$$

Sumaryczny ładunek obu kulek q_c równa się:

$$q_c = 2q = 9,4 \cdot 10^{-8} \text{ C}.$$

14.2.R.

$$q_c = 2q = 2 \frac{(N^2 - G^2)^{\frac{3}{4}}}{k^{\frac{1}{2}}} \frac{2l}{N} \approx 1,1 \cdot 10^{-6} \text{ C},$$

gdzie:

$$k = \frac{1}{4\pi\epsilon_0} = 9 \cdot 10^9 \frac{\text{N} \cdot \text{m}^2}{\text{C}^2}$$

Wskazówka: Patrz rozwiązanie zad. 14.1. Skorzystaj z podobieństwa trójkątów sił i odległości oraz prawa Pitagorasa.

14.3.R. Nie. W przypadku przewodzących ciał rozciąglanych, gdy ładunek jednego z ciał będzie znacznie większy od ładunku drugiego ciała, efekt indukcji elektrostatycznej (rozdzielenia ładunków w przewodniku pod wpływem pola elektrostatycznego) może być silniejszy i naładowane jednoimiennie ciała będą się przyciągały!

14.4.R.

$$q_1 = q_2 = \frac{Q}{2}$$

Wskazówka: Skorzystaj z warunku ekstremum siły coulombowskiej.

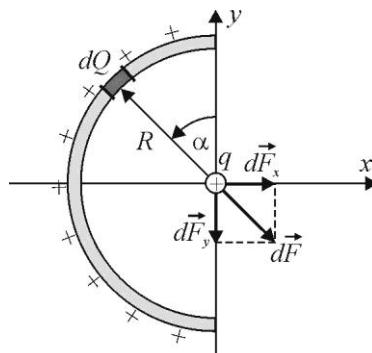
14.5.R. W soli występuje wiązanie jonowe. Zgodnie z prawem Coulomba, siła oddziaływania dwóch ładunków F_c równa się:

$$F_c = \frac{1}{4\pi\epsilon_0\epsilon_r} \frac{q_1q_2}{r^2}.$$

Dla tłuszczu $\epsilon_r = 2$, w przeciwieństwie do wody, dla której $\epsilon_r = 81$, dlatego też w wodzie następuje rozpuszczanie się soli, a w tłuszczu nie. Jest to interpretacja jakościowa. W ciele stałym o wiązaniu jonowym występują bardziej złożone oddziaływania.

14.6.R. Nie. Prawo Coulomba stosuje się ściśle tylko do ładunków punktowych. W przypadku przewodzących ciał rozciągniętych, rzeczywiste oddziaływanie może różnić się nie tylko co do wartości, ale też co do znaku siły. Patrz przykład 14.3.

14.7.R.



Korzystamy z zasady superpozycji oddziaływań. Na długości dl półokręgu znajduje się ładunek punktowy dQ :

$$(1) \quad dQ = \frac{Q}{\pi R} dl,$$

gdzie dl – element długości półokręgu.

Ładunek q w środku półokręgu doznaje oddziaływania od tego punktowego ładunku:

$$(2) \quad dF = k \frac{q \cdot dQ}{R^2}.$$

Siłę dF możemy rozłożyć na dwie składowe: dF_x i dF_y . Składowe siły dF_y pochodzące od punktów położonych symetrycznie względem osi x będą się kompensowały. Dlatego też wypadkowa siła F będzie skierowana wzdłuż osi x i pochodzić będzie od składowych siły dF_x .

$$F = F_x = \int dF_x = \int_0^\pi dF \cdot \sin \alpha$$

Podstawiając za dl : $dl = R \cdot d\alpha$ we wzorze (1) i (2) otrzymamy:

$$F = \int_0^\pi k \frac{q \frac{Q}{\pi R} R \sin \alpha}{R^2} d\alpha = \frac{2k \cdot q \cdot Q}{\pi R^2} = 3,42 \cdot 10^{-3} \text{ N}.$$

14.8.R. Układ znajduje się w równowadze, gdy w środku kwadratu umieścimy ładunek:

$$q = -\frac{Q}{4}(1 + 2\sqrt{2}).$$

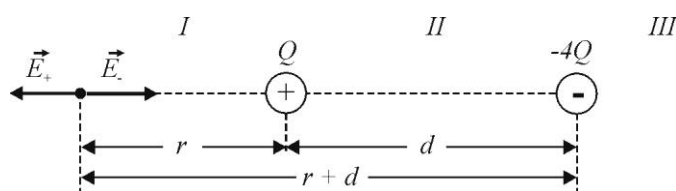
Będzie to równowaga chwiejna. Najmniejsze zakłócenie równowagi powoduje, że układ nie będzie już w równowadze.

14.9.R.

$$V = k \frac{2Q}{a} (3 - \sqrt{3}),$$

gdzie: $k = \frac{1}{4\pi\epsilon_0\epsilon_r}$.

14.10.R.



(a) Oznaczając przez E_+ natężenie pola elektrycznego od ładunku dodatniego, a przez E_- natężenie pola elektrycznego od ładunku ujemnego, oraz przez r odległość od ładunku dodatniego, możemy stwierdzić, że natężenie wypadkowe może być równe zero tylko w obszarze *I*. Dla tego obszaru:

$$E_+ = k \frac{Q}{r^2},$$

$$E_- = k \frac{4Q}{(r + d)^2}$$

i $E_+ = E_-$, czyli:

$$k \frac{Q}{r^2} = k \frac{4Q}{(r + d)^2}.$$

Stąd otrzymujemy równanie kwadratowe na r :

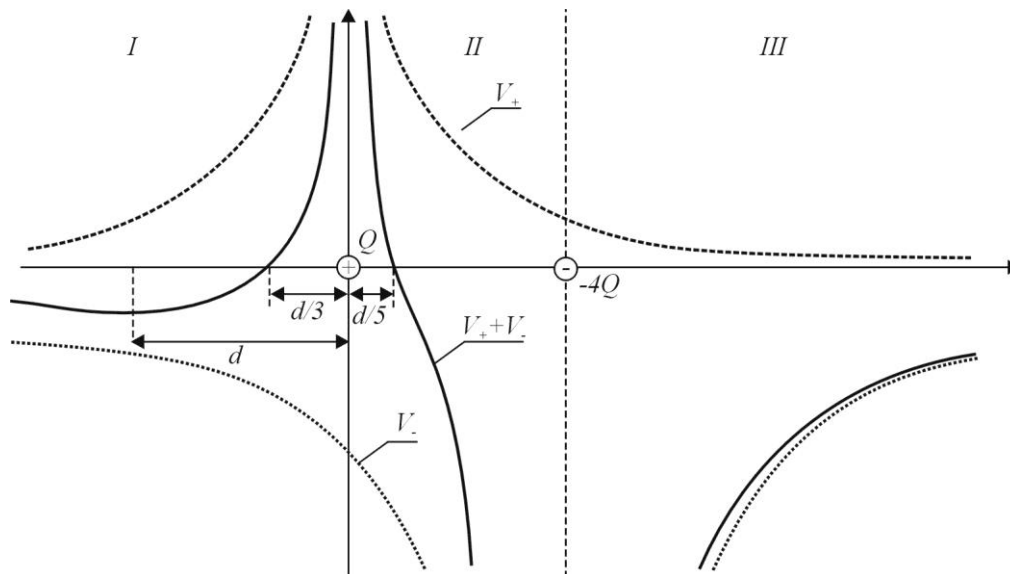
$$3r^2 - 2dr - d^2 = 0.$$

Z równania tego otrzymujemy dwa rozwiązania:

$$r_1 = d \quad \text{i} \quad r_2 = -\frac{1}{3}d,$$

czyli natężenie pola elektrostatycznego równe zero wystąpi z lewej strony ładunku Q w odległości $r = r_1 = d$. Drugie rozwiązanie $r = r_2 = -\frac{1}{3}d$ będzie odpowiadało położeniu na prawo od ładunku Q . W punkcie tym natężenia E_+ i E_- są również równe, lecz są zgodnie skierowane (sprawdź to!).

(b)



Korzystamy z zasady superpozycji pól:

$$V = V_+ + V_-$$

gdzie:

$V_+ = k \frac{Q}{|r|}$ - wartość potencjału elektrycznego w punkcie odległym o r od ładunku Q ,

$V_- = -k \frac{4Q}{|r'|}$ - wartość potencjału elektrycznego w punkcie odległym o r' od ładunku $-4Q$.

Wartość odległości r' związana jest z odległością r następującą zależnością:

$$r' = \begin{cases} |r| + d & \text{w obszarze I} \\ d - |r| & \text{w obszarze II} \\ |r| - d & \text{w obszarze III} \end{cases}$$

W dalszych rozważaniach zamiast $|r|$ będziemy pisać r pamiętając, że jest to wartość bezwzględna. W obszarze I wartość wypadkowego potencjału V wyraża się wzorem:

$$V = V_+ + V_- = k \frac{Q}{r} - k \frac{4Q}{r+d} = kQ \left(\frac{1}{r} - \frac{4}{r+d} \right)$$

$$V = 0 \Leftrightarrow r = \frac{d}{3}$$

w obszarze II zaś:

$$V = V_+ + V_- = k \frac{Q}{r} - k \frac{4Q}{d-r} = kQ \left(\frac{1}{r} - \frac{4}{d-r} \right)$$

$$V = 0 \Leftrightarrow r = \frac{d}{5}$$

Jak łatwo sprawdzić, w obszarze *III* wypadkowy potencjał nie przyjmuje wartości równej zero.

(c) Minimum lokalne potencjału wypadkowego może wystąpić tylko w obszarze *I*. Korzystając z warunku ekstremum funkcji: $\frac{dV}{dr} = 0$, znajdujemy wartość odległości tego punktu od ładunku Q : $r = d$. Jest to równocześnie wartość odległości, w której $E = 0$. Wynika to ze związku $\vec{E} = -\text{grad}V$, który w przypadku jednowymiarowym wyraża się wzorem:

$$E = \frac{-dV}{dr}.$$

14.11.R.

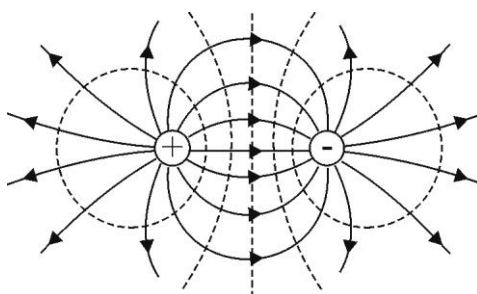
$$r = 3 \text{ m}, Q = 2 \cdot 10^{-7} \text{ C}.$$

14.12.R.

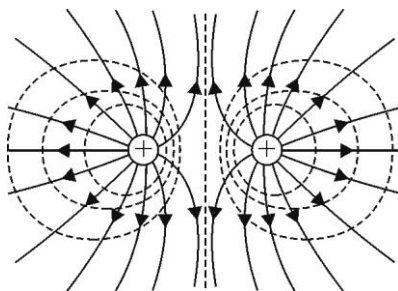
$$U = \frac{\text{tg } \alpha \cdot m \cdot g \cdot d}{q} = 5,77 \cdot 10^3 \text{ V}$$

14.13.R.

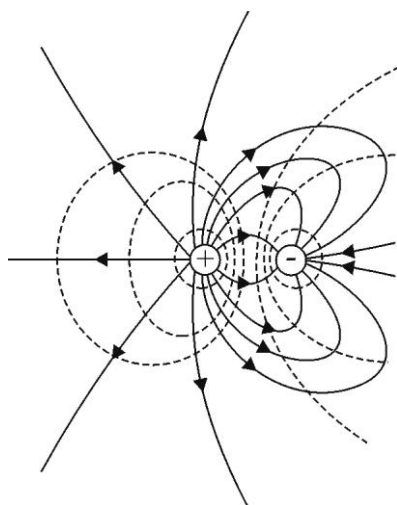
(a)



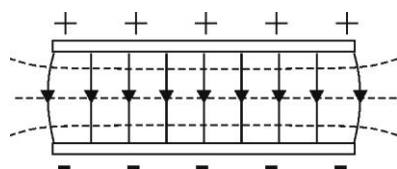
(b)



(c)

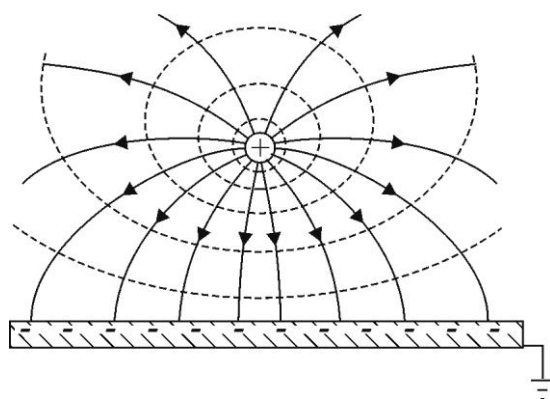


(d)

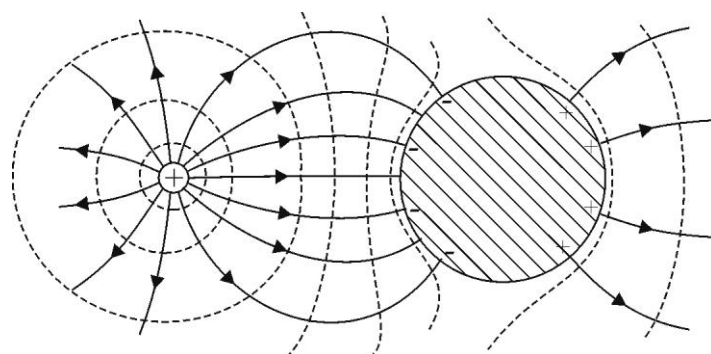


14.14.R.

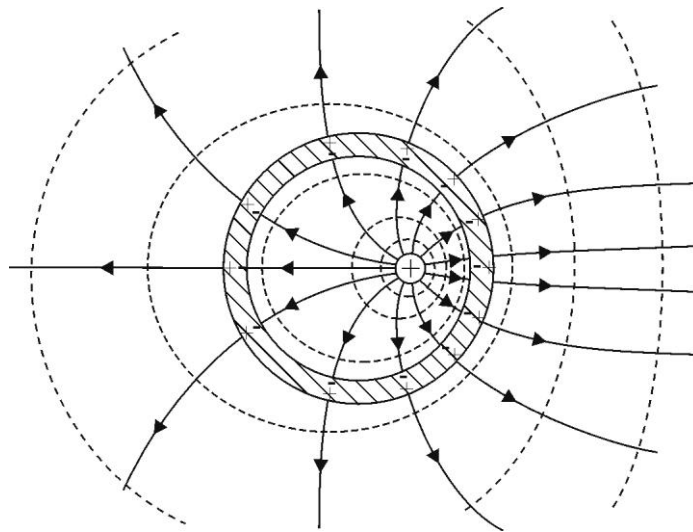
(a)



(b)



(c)

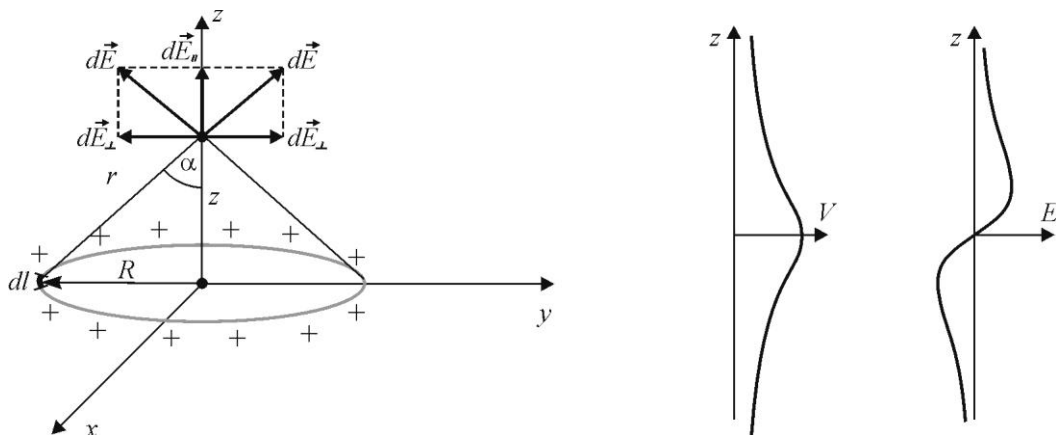


14.15.R.

$$V = k \frac{Q}{R}$$
$$E = k \frac{Q}{\pi R^2} \cdot 2.$$

Wskazówka: Należy skorzystać z zasady superpozycji oddziaływań, podobnie jak w zad. 14.7. Potencjały należy sumować skalarnie, a natężenia wektorowo.

14.16.R.



Ładunek dq znajdujący się na elemencie długości pierścienia dl wytwarza na osi z w odległości r od niego potencjał dV :

$$dV = \frac{dQ}{r},$$

ponieważ: $dQ = \frac{Q}{2\pi R} dl$, a $r = \sqrt{R^2 + z^2}$, więc:

$$V = k \frac{Q}{2\pi R} \frac{1}{\sqrt{R^2 + z^2}} dl.$$

Po scałkowaniu:

$$V = k \frac{Q}{2\pi R} \frac{1}{\sqrt{R^2 + z^2}} \int_0^{2\pi R} dl,$$

skąd:

$$V = k \frac{Q}{\sqrt{R^2 + z^2}}.$$

Z symetrii układu widać, że składowe natężenia pola elektrycznego prostopadłe do osi z skompensują się, dlatego $E = E_z$.

(a) Korzystając z zasady superpozycji możemy napisać:

$$dE = k \frac{dQ}{r^2}, \quad dE_z = dE \cos \alpha,$$

ale: $\cos \alpha = \frac{z}{r}$, więc:

$$dE_z = k \frac{dQ}{r^2} \frac{z}{r} = k \frac{z}{r^3} \frac{Q}{2\pi R} dl,$$

skąd:

$$E_z = k \frac{z}{\left(\sqrt{R^2 + z^2}\right)^3} \frac{Q}{2\pi R} \int_0^{2\pi R} dl = k \frac{Qz}{\left(\sqrt{R^2 + z^2}\right)^3}$$

$$E = E_z = k \frac{Qz}{\left(\sqrt{R^2 + z^2}\right)^3}$$

(b) $\vec{E} = -\text{grad} V$. W naszym przypadku wyrażenie to możemy zapisać w postaci:

$$E = E_z = \frac{-dV}{dz} = -\frac{d}{dz} \left(k \frac{Q}{\sqrt{R^2 + z^2}} \right),$$

stąd:

$$E = E_z = k \frac{Qz}{\left(\sqrt{R^2 + z^2}\right)^3}$$

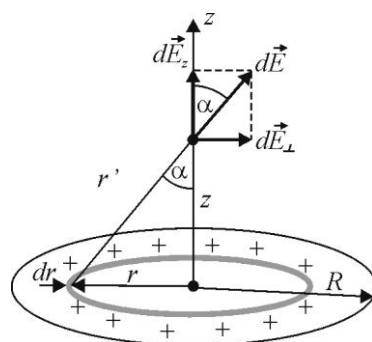
14.17.R.

$$E = k \frac{2a\lambda}{r\sqrt{a^2 + r^2}}$$

(a) dla $\frac{r}{a} \gg 1$ $E = k \frac{2a\lambda}{r^2} = k \frac{q}{r^2}$, gdzie $q = 2a\lambda$.

(b) dla $\frac{a}{r} \gg 1$ $E = k \frac{2\lambda}{r} = \frac{\lambda}{2\pi\epsilon r}$.

14.18.R. Posługując się zasadą superpozycji pól znajdujemy podobnie jak w zad. 14.14. wartości potencjału i natężenia pola elektrycznego dla punktów znajdujących się na osi z .



Potencjał dV od ładunku dQ , znajdującego się na pierścieniu o promieniu r i szerokości dr , w punkcie znajdującym się na osi z w odległości r' od promienia, równa się:

$$dV = k \frac{dQ}{r'},$$

ale: $dQ = 2\pi r \cdot dr \cdot \sigma$, gdzie σ – gęstość powierzchniowa ładunku, a $r' = \sqrt{r^2 + z^2}$. Stąd:

$$dV = k \frac{2\pi r \cdot dr \cdot \sigma}{\sqrt{r^2 + z^2}}$$

Wartość potencjału V od całego krążka równa się więc:

$$V = k2\pi\sigma \int_0^R \frac{r \cdot dr}{\sqrt{r^2 + z^2}}.$$

Całkując przez podstawienie otrzymujemy:

$$V = k2\pi\sigma \left(\sqrt{R^2 + z^2} - |z| \right)$$

Podstawiając za σ : $\sigma = \frac{Q}{\pi R^2}$, otrzymujemy:

$$(1) \quad V = k \frac{2Q}{R^2} \left(\sqrt{R^2 + z^2} - |z| \right).$$

Ponieważ natężenie pola elektrycznego jest wielkością wektorową, dlatego też składową pola w kierunku osi z od ładunku znajdującego się na pierścieniu, można wyrazić wzorem:

$$dE_z = dE \cos \alpha = k \frac{dQ}{r'^2} \frac{z}{r'} = k \frac{dQz}{r'^3}.$$

Podstawiając za dQ : $dQ = 2\pi r \cdot dr \cdot \sigma$ oraz za r' : $r' = \sqrt{r^2 + z^2}$ otrzymamy:

$$E_z = k \cdot 2\pi\sigma z \int_0^R \frac{r \cdot dr}{\left(\sqrt{r^2 + z^2} \right)^3}$$

skąd:

$$E_z = k \cdot 2\pi\sigma z \left(\frac{1}{|z|} - \frac{1}{\sqrt{R^2 + z^2}} \right),$$

lub kładąc $\sigma = \frac{Q}{\pi R^2}$:

$$(2) \quad E_z = k \frac{2Q}{R^2} \left(\frac{z}{|z|} - \frac{z}{\sqrt{R^2 + z^2}} \right).$$

Dla $z \gg R$, czyli dla dużych odległości wyrażenie na potencjał (1) można zapisać w postaci:

$$V = k \frac{2Q}{R^2} \left(|z| \sqrt{1 + \left(\frac{R}{z} \right)^2} - |z| \right)$$

Wyłączając $|z|$ przed nawias i stosując przybliżenie $\sqrt{1 + \left(\frac{R}{z} \right)^2} \approx 1 + \frac{1}{2} \left(\frac{R}{z} \right)^2$ słuszne dla

$\frac{R}{z} \ll 1$, otrzymamy: $V = k \frac{Q}{|z|}$.

Stosując analogiczne przybliżenie do wyrażenia (2) na składową E_z pola elektrycznego otrzymamy:

$$E_z = k \frac{Q}{z^2}.$$

Dla drugiego skrajnego przypadku, czyli dla wartości z odpowiadającym punktom leżącym w pobliżu krążka, spełniona jest relacja $z \ll R$, lub równoważna $\frac{z}{R} \ll 1$. Wartość potencjału dla tych punktów możemy otrzymać przez zastosowanie następującego przybliżenia w wyrażeniu (1): $\sqrt{R^2 + z^2} \approx R$ dla $R \gg z$. Stąd:

$$V = k \frac{2Q}{R^2} (R - |z|).$$

Natomiast dla $R \gg z$, w wyrażeniu na składową E_z pola, możemy zaniedbać drugi człon w nawiasie, co prowadzi do wyrażenia na natężenie pola elektrycznego od naładowanej nieskończonej powierzchni:

$$E = k \frac{2Q}{R^2} \frac{z}{|z|} = \frac{\sigma}{2\epsilon_0} \frac{z}{|z|}.$$

14.19.R.

(a) Powierzchnie ekwipotencjalne mają kształt elipsoidy obrotowej o półosiach: $\sqrt{\frac{V}{a}}$, $\sqrt{\frac{V}{a}}$, $\sqrt{\frac{V}{b}}$.

(b) $\vec{E} = -2(ax\vec{i} + ay\vec{j} + bz\vec{k})$, $E = 2\sqrt{a^2(x^2 + y^2) + b^2z^2}$.

Wskazówka: Skorzystać ze związku $\vec{E} = -\text{grad} V$.

(c) Powierzchnie, na których $E = \text{const}$ mają również kształt elipsoidy obrotowej o innych półosiach: $\frac{E}{2a}$, $\frac{E}{2a}$, $\frac{E}{2b}$.

(d) W tym przypadku dla wartości potencjału $V > 0$ powierzchnie ekwipotencjalne będą miały kształt jednopłatowej hiperboloidy obrotowej, dla $V = 0$ kształt stożka, a dla $V < 0$ kształt dwupłatowej hiperboloidy obrotowej.

14.20.R.

(a) $V = 0$, $E = k \frac{p}{r^3} = \frac{1}{4\pi\epsilon_0} \frac{p}{r^3}$, gdzie $p = Qd$.

(b) $V = k \frac{p}{r^2}$, $E = k \frac{2p}{r^3} = \frac{1}{4\pi\epsilon_0} \frac{2p}{r^3}$.

Wzory te słuszne są przy założeniu: $r \gg d$.

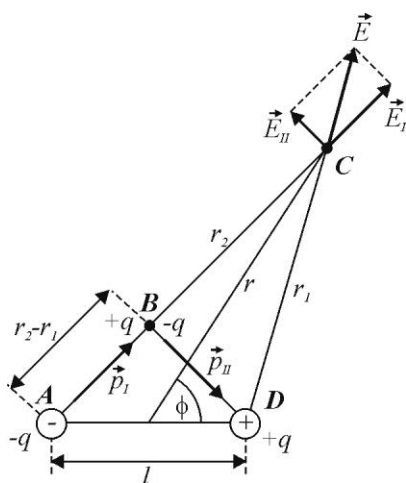
14.21.R. Potencjał w dowolnym punkcie C , oddległym od dipola o r , liczymy sumując potencjały od obu ładunków.

$$V = k \frac{Q}{r_1} - k \frac{Q}{r_2} = kQ \frac{r_2 - r_1}{r_1 r_2}.$$

Dla $r \gg l$ $r_1 \approx r_2 \approx r$, a $r_2 - r_1 = l \cos \phi$, skąd:

$$V = k \frac{Ql \cos \phi}{r^2} = \frac{1}{4\pi\epsilon_0} \frac{p \cos \phi}{r^2},$$

gdzie: $p = q \cdot l$ – moment dipolowy.



Wartość natężenia pola elektrycznego w punkcie C liczymy posługując się następującym rozumowaniem: Załóżmy, że w punkcie B umieścimy obok siebie dwa ładunki: $+q$ i $-q$. Nie wpłyną one na pole pierwotne, lecz teraz już nasz układ można traktować jak dwa dipole: p_I i p_{II} . Z trójkąta prostokątnego ABD wynika, że długość boku $AB \approx l \cos \phi$, a boku $BD \approx l \sin \phi$. Stąd wartość dipola $p_I = ql \cos \phi = p \cos \phi$, a dipola $p_{II} = ql \sin \phi = p \sin \phi$. Natężenie pola elektrycznego w punkcie C można traktować jako sumę wektorową pól: E_I – pochodzącego od dipola p_I (na jego osi), oraz pola E_{II} – pochodzącego od dipola p_{II} (na jego osi symetrii), czyli:

$$E_I = k \frac{2p_I}{r^3} = k \frac{2p \cos \phi}{r^3},$$

$$E_{II} = k \frac{p_{II}}{r^3} = k \frac{2p \sin \phi}{r^3}.$$

stąd:

$$E = \sqrt{E_I^2 + E_{II}^2} = k \frac{p}{r^3} \sqrt{4 \cos^2 \phi + \sin^2 \phi} =$$

$$= k \frac{p}{r^3} \sqrt{3 \cos^2 \phi + 1} = \frac{1}{4\pi\epsilon_0} \frac{p}{r^3} \sqrt{3 \cos^2 \phi + 1}.$$

14.22.R.

$$V = 0, \quad E = k \frac{6Q}{r^4} = \frac{3Q}{2\pi\epsilon_0 r^4},$$

gdzie: $Q = 2qa^2$ – moment kwadrupolowy.

Wskazówka: Natężenie pola elektrycznego kwadrupola możemy traktować jako złożenie dwu pól dipolowych w punkcie leżącym na ich osi symetrii. Należy zwrócić uwagę, że odległości między ładunkami wynoszą $2a$.

14.23.R.

$$V = k \frac{Q}{r^3} = \frac{1}{4\pi\epsilon_0} \frac{Q}{r^3}, \quad E = k \frac{3Q}{r^4} = \frac{1}{4\pi\epsilon_0} \frac{3Q}{r^4},$$

gdzie: $Q = 2qa^2$.

14.24.R.

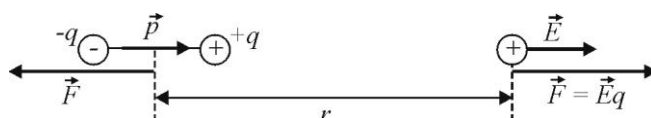
$$\vec{M} = \vec{p} \times \vec{E}$$

$$M = p \cdot E \cdot \sin \alpha = 5 \text{ N} \cdot \text{m}$$

14.25.R.

$$F = p \frac{\Delta E}{\Delta x} = 5 \cdot 10^{-3} \text{ N}$$

14.26.R. Skrawki papieru są elektrycznie obojętne. Dopiero pod wpływem pola elektrycznego skrawki papieru stają się dipolami indukowanymi. Przy takim zaś ustawieniu dipola, będzie on wciągany przez niejednorodne pole elektryczne. (Zrób rysunek i narysuj siły działające na poszczególne ładunki dipola).

14.27.R.

(a) W punkcie, w którym znajduje się ładunek q występuje pole elektryczne od dipola o natężeniu E : $E = k \frac{2p}{r^3}$. Dlatego też na ładunek będzie działała siła:

$$F = qE = k \frac{2pq}{r^3} = \frac{1}{4\pi\epsilon_0} \frac{2pq}{r^3}.$$

Na dipol zaś, zgodnie z III zasadą dynamiki, będzie działała siła równa, przeciwnie skierowana.

(b) Stosując podobne rozumowanie jak w punkcie (a), otrzymujemy wartość siły:

$$F = k \frac{pq}{r^3} = \frac{1}{4\pi\epsilon_0} \frac{pq}{r^3}.$$

14.28.R.

$$M = pE \sin \alpha,$$

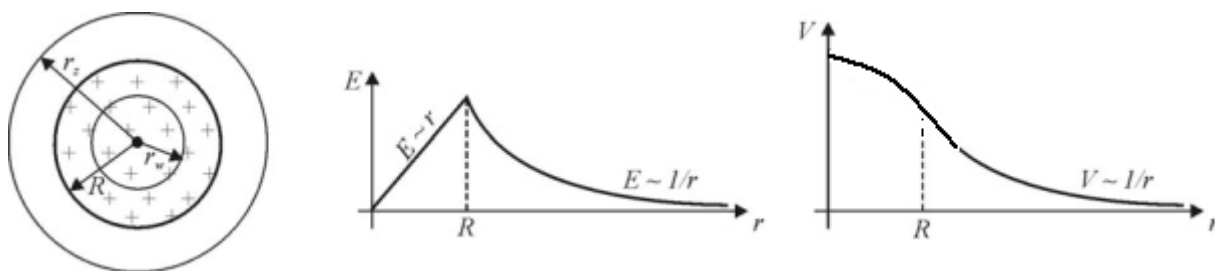
gdzie: E – natężenie pola elektrycznego od naładowanej płyty. Dla $R \gg r$, $E = \frac{\sigma}{2\epsilon_0}$. Patrz zad. 14.18. Stąd:

$$M = p \frac{\sigma}{2\epsilon_0} \sin \alpha.$$

14.29.R.

$$E = \frac{\sigma}{2\epsilon_0}$$

14.30.R.



(a) $r < R$. Korzystamy z prawa Gaussa:

$$(1) \quad \oint \vec{E} d\vec{S} = \frac{q}{\epsilon_0},$$

gdzie: q – ładunek zawarty wewnątrz powierzchni gaussowskiej (sfery) o promieniu $r = r_w < R$.

$$q = \frac{4}{3} \pi r^3 \rho,$$

stąd całkując (1) otrzymamy:

$$E \cdot 4\pi r^2 = \frac{4}{3} \frac{\pi r^3 \rho}{\epsilon_0},$$

skąd:

$$E = \frac{\rho}{3\varepsilon_0} r.$$

(b) Dla $r > R$:

$$(2) \quad \oint \vec{E} d\vec{S} = \frac{Q}{\varepsilon_0}$$

gdzie: $Q = \frac{4}{3}\pi R^3 \rho$ - ładunek zawarty w całej naładowanej kuli. dla sfery gaussowskiej o promieniu $r = r_z > R$ otrzymamy, całkując (2):

$$E \cdot 4\pi r^2 = \frac{4}{3} \frac{\pi R^3 \rho}{\varepsilon_0}$$

skąd:

$$(3) \quad E = \frac{\frac{4}{3}\pi R^3 \rho}{4\pi \varepsilon_0 r^2} = \frac{\rho R^3}{3\varepsilon_0 r^2}.$$

Ze wzoru (3) wynika, że dla $r > R$ natężenie pola elektrycznego naładowanej objętościowo kuli jest identyczne z polem od ładunku punktowego, znajdującego się w środku kuli.

Potencjał pola elektrycznego w naładowanej kuli liczymy korzystając ze związku: $E = -\frac{dV}{dr}$,

dla $r \geq R$: $dV = -E \cdot dr = -\frac{\rho R^3 dr}{3\varepsilon_0 r^2}$, skąd: $V = V_{zew} = \frac{\rho R^3}{3\varepsilon_0 r} + C$: dla $r \rightarrow \infty$ $V = 0 \Rightarrow C = 0$

czyli:

$$V = V_{zew} = \frac{\rho R^3}{3\varepsilon_0 r}$$

dla $r < R$: $dV = -E \cdot dr = -\frac{\rho}{3\varepsilon_0} r dr$, skąd, po scałkowaniu: $V = V_{zew} = -\frac{\rho}{3\varepsilon_0} \frac{r^2}{2} + C$.

Stałą C wyliczymy z warunku: $V_{zew}(R) = V_{zew}(R) \Rightarrow C = \frac{1}{2} \frac{\rho R^2}{\varepsilon_0}$, dlatego:

$$V = V_{zew} = -\frac{\rho r^2}{6\varepsilon_0} + \frac{1}{2} \frac{\rho R^2}{\varepsilon_0},$$

czyli:

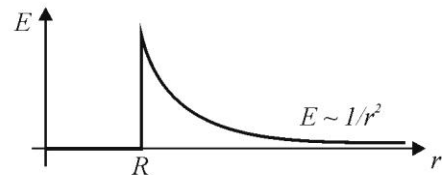
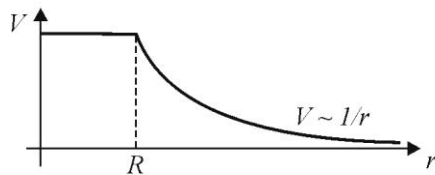
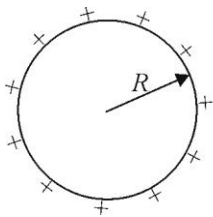
$$V = V_{zew} = \frac{\rho}{6\varepsilon_0} (3R^2 - r^2).$$

14.31.R.(a) Dla $r < R$:

$$V(r) = \frac{q}{4\pi\epsilon_0} \frac{1}{R} = \text{const}, E(r) = 0$$

dla $r > R$:

$$V(r) = \frac{q}{4\pi\epsilon_0} \frac{1}{r}, \quad E(r) = \frac{q}{4\pi\epsilon_0} \frac{1}{r^2}$$



(b) Na zewnątrz i wewnątrz kuli z dielektryka, naładowanej powierzchniowo ładunkiem q , pole będzie identyczne z polem od kuli metalowej o tych samych rozmiarach i naładowanej identycznym ładunkiem.

14.32.R.

(a)

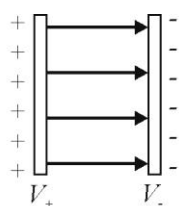
$$E = \frac{1}{2\pi\epsilon_0} \frac{\lambda}{r}, \quad V = -\frac{\lambda}{2\pi\epsilon_0} \ln \frac{r}{r_0}$$

(b)

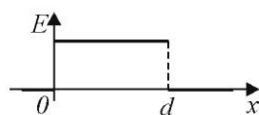
$$E = 3,5 \cdot 10^3 \text{ V/m}, \quad V = -0,83 \cdot 10^5 \text{ V}$$

Wskazówka: W celu obliczenia E należy posłużyć się prawem Gaussa. Potencjał należy wyznaczyć całkując zależność: $E = -\frac{dV}{dr}$. Stałej całkowania nie można jednak wyznaczyć z zależności $V = 0$ dla $r \rightarrow \infty$. Stałą C dobieramy tak, aby $V = 0$ dla $r = r_0 = 1 \text{ m}$.

14.33.R.

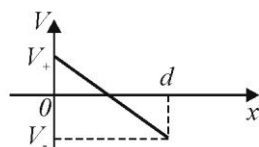


(a) Natężenie pola elektrycznego równa się: między płytkami: $0 \leq x \leq d$: $E = \frac{\sigma}{\epsilon_0}$, poza płytkami: $x < 0$ i $x > d$: $E = 0$. Potencjał liczymy z zależności:



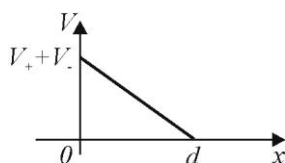
$$E = -\frac{dV}{dx},$$

skąd:



$$\int_{V_+}^V dV = -\int_0^x E dx.$$

Po scałkowaniu:



$$V - V_+ = \frac{-\sigma}{\epsilon_0} x,$$

ostatecznie:

$$V = V_+ - \frac{\rho}{\epsilon_0} x.$$

(b) Gdy jedną z płyt połączymy z ziemią, wówczas potencjał jej będzie równy zeru, a druga płyta będzie na potencjale $V_+ + V_-$.

14.34.R. Korzystając z definicji pojemności elektrycznej odosobnionego przewodnika:

$$C = \frac{Q}{V},$$

gdzie: Q – ładunek na przewodniku, a V – potencjał na powierzchni przewodnika. Pamiętając, że dla kuli o promieniu R :

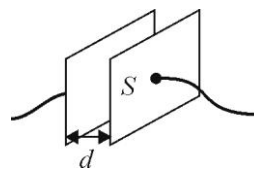
$$V = \frac{Q}{4\pi\epsilon_0 R},$$

otrzymamy:

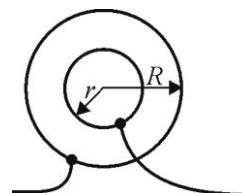
$$C = 4\pi\epsilon_0 R.$$

14.35.R. Pojemność kondensatora:

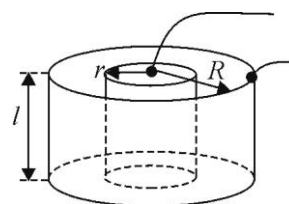
(a) Płaskiego: $C = \frac{\epsilon_r \epsilon_0 S}{d}$, dla $S \gg d^2$



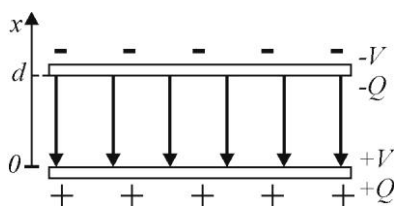
(b) Kulistego: $C = \frac{4\pi\epsilon_r \epsilon_0}{\frac{1}{r} - \frac{1}{R}}$,



(c) Walcowego: $C = \frac{2\pi\epsilon_r \epsilon_0 l}{\ln \frac{R}{r}}$, dla $l \gg R$ i r .



Sposób obliczania pojemności kondensatorów pokażemy na przykładzie kondensatora płaskiego.



Natężenie pola elektrycznego między okładkami kondensatora:

$$E = \frac{\sigma}{\epsilon_0},$$

gdzie: $\sigma = \frac{Q}{S}$ - gęstość powierzchniowa ładunku, S - powierzchnia okładki. Korzystając z zależności:

$$E = -\frac{dV}{dx}$$

otrzymamy:

$$\int_{V_+}^{V_-} dV = -\int_0^d E dx = -\int_0^d \frac{\sigma}{\epsilon_0} dx,$$

skąd otrzymamy:

$$V_- - V_+ = -\frac{\sigma}{\varepsilon_0} d \quad | \cdot (-1)$$

$$V_+ - V_- = U = \frac{\sigma}{\varepsilon_0} d ,$$

Podstawiając do ostatniego wyrażenia za $\sigma = \frac{Q}{S}$, dostajemy:

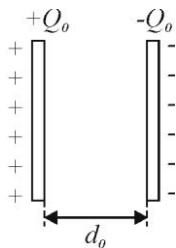
$$U = \frac{Qd}{\varepsilon_0 S} ,$$

skąd otrzymamy wyrażenie na pojemność kondensatora płaskiego:

$$C = \frac{Q}{U} = \frac{\varepsilon_0 S}{d} .$$

14.36.R.

przed zsunięciem:



po zsunięciu:



Pojemności:

$$C_0 = \frac{\varepsilon_0 S}{d_0} ,$$

$$C = \frac{\varepsilon_0 S}{d} = \frac{\varepsilon_0 S}{\frac{d_0}{n}} = nC_0$$

Ładunki:

$$Q_0 = C_0 U_0$$

$$Q = Q_0 = CU$$

(a)

$$C_0 U_0 = CU$$

$$C_0 U_0 = nC_0 U \rightarrow U = \frac{U_0}{n}$$

Napięcie zmniejsza się n razy.

(b)

$$E_0 = \frac{U_0}{d_0}$$
$$E = \frac{U}{d} = \frac{\frac{U_0}{n}}{\frac{d_0}{n}} = \frac{U_0}{d_0} = E_0$$
$$E = E_0 = \text{const}$$

Natężenie pola elektrycznego nie zmieni się.

(c)

$$Q = Q_0 = \text{const}.$$

14.38.R. Ładunki na okładkach obu kondensatorów połączonych szeregowo spełniają relację:

$$\begin{cases} q_1 = q_2 = q = UC \\ q_1 = C_1 U_1 & q_2 = C_2 U_2 \end{cases},$$

gdzie C – pojemność zastępcza $\frac{1}{C} = \frac{1}{C_1} + \frac{1}{C_2} \rightarrow C = \frac{C_1 C_2}{C_1 + C_2}$, a q – ładunek wypadkowy.

Z tych trzech równań otrzymujemy:

$$U_1 = \frac{C_2 U}{C_1 + C_2} = 200V, \quad U_2 = \frac{C_1 U}{C_1 + C_2} = 100V$$
$$q_1 = q_2 = q = UC = 2 \cdot 10^{-8} C.$$

14.39.R.

(a) Natężenie pola elektrycznego nie zmieni się w wyniku wprowadzenia płytki metalowej między okładki kondensatora, bowiem: $E = \frac{\sigma}{\varepsilon_0} = \frac{Q}{S\varepsilon_0}$.

(b) Pojemność kondensatora po włożeniu płytki wzrośnie: $C = \frac{\varepsilon_0 S}{d-l}$.

(c) Ponieważ ładunek na okładkach kondensatora jest stały, a pojemność wzrośnie, w związku z tym napięcie zmaleje o: $\Delta U = -\frac{Ql}{\varepsilon_0 S}$.

14.40.R. Ponieważ kulki rtęci są przewodzące, więc ich potencjały w chwili rozdzielania i potem muszą być równe.

$$V_1 = V_2 = V \frac{\sqrt[3]{1+n}}{1+\sqrt[3]{n}}.$$

Wskazówka: Skorzystaj z prawa zachowania ładunku, definicji pojemności kulki, oraz z faktu, że objętość pierwotna kulki będzie równa sumie objętości obu kulek.

14.41.R. W wyniku zwarcia kondensatorów nastąpi przepływ jednakowego ładunku między kolejnymi kondensatorami, aż do chwili, gdy okaże się, że suma napięć na wszystkich kondensatorach stanie się równa zero. W Wyniku tego ładunki na poszczególnych kondensatorach będą równe:

$$\begin{aligned} Q_1 &= C_z U \left(\frac{C_1}{C_2} + \frac{C_1}{C_3} - 2 \right) \\ Q_2 &= C_z U \left(\frac{C_2}{C_1} + \frac{C_2}{C_3} - 2 \right) \\ Q_3 &= C_z U \left(\frac{C_3}{C_1} + \frac{C_3}{C_2} - 2 \right), \end{aligned}$$

gdzie:

$$C_z = \left(\frac{1}{C_1} + \frac{1}{C_2} + \frac{1}{C_3} \right)^{-1}.$$

14.42.R.

$$\begin{aligned} Q_1 &= \frac{C_1(C_1 + C_3)}{C_2C_3 + C_1C_2 + C_3C_1} Q, \\ Q_2 = Q_3 &= \frac{C_2C_3}{C_2C_3 + C_1C_2 + C_3C_1} Q. \end{aligned}$$

14.43.R.

$$\begin{aligned} Q_1 &= Q, \\ Q_2 &= Q \frac{C_2}{C_2 + C_3}, \\ Q_3 &= Q \frac{C_3}{C_2 + C_3}. \end{aligned}$$

14.44.R.

$$p_{ind} = \alpha E = 2,2 \cdot 10^{-34} \text{ C} \cdot \text{m}$$

$$\frac{p_0}{p_{ind}} = 1680$$

14.45.R.

$$p_{ind} = \alpha E = \alpha \frac{e}{4\pi\epsilon_0 r^2} = 0,12 \cdot 10^{-30} \text{ C} \cdot \text{m}$$

14.46.R.

$$p_{OH} = 7,63 \cdot 10^{-30} \text{ C} \cdot \text{m}$$

14.47.R.

$$\epsilon_r = \frac{\epsilon}{\epsilon_0} = 16,5,$$

$$\chi = \epsilon_r - 1 = 15,5,$$

$$n_0 \alpha = \epsilon_0 (\epsilon_r - 1) = 1,4 \cdot 10^{-10} \frac{\text{F}}{\text{m}},$$

$$N_A \alpha = \frac{\mu}{\rho} n_0 \alpha = 4,7 \cdot 10^{-16} \frac{\text{F} \cdot \text{m}^2}{\text{mol}}.$$

14.48.R.

(I) Kondensator po naładowaniu do napięcia U_0 odłączono od źródła. W tym przypadku ładunek na okładkach nie będzie się zmieniał $Q = Q_0 = \text{const}$.

(a) Pojemność:

Przed włożeniem dielektryka:

$$C_0 = \frac{\epsilon_0 S}{d}.$$

Po włożeniu dielektryka:

$$C = \frac{\epsilon_r \epsilon_0 S}{d} = \epsilon_r C_0$$

Pojemność wzrośnie ϵ_r razy.

(b) Ładunek:

$$(1) \quad Q_0 = C_0 U_0 = CU = \text{const}$$

(c) Napięcie:

Z równania (1) wynika, że:

$$U = U_0 \frac{C_0}{C} = \frac{U_0}{\varepsilon_r}$$

Napięcie zmniejszy się ε_r razy.

(d) Natężenie pola elektrycznego

$$E_0 = \frac{U_0}{d},$$
$$E = \frac{U}{d} = \frac{U_0}{\varepsilon_r d} = \frac{E_0}{\varepsilon_r}.$$

Natężenie pola elektrycznego wewnątrz dielektryka zmniejszy się ε_r razy, ponieważ ładunki polaryzacyjne na powierzchni dielektryka wytworzą pole przeciwne do pola zewnętrznego.

(II) Kondensator jest cały czas podłączony do źródła o napięciu U_0 . W związku z tym napięcie $U = U_0 = const$. Napięcie nie zmienia się.

(a) Pojemność:

$$C = \varepsilon_r C_0.$$

(b) Ładunek na okładkach kondensatora:

$$Q_0 = C_0 U_0$$
$$Q = C U_0 = \varepsilon_r C_0 U_0 = \varepsilon_r Q_0$$

Ładunek wzrośnie ε_r razy. Ze źródła dopłynie na okładki dodatkowy ładunek $\Delta Q = Q - Q_0$, równy ładunkowi polaryzacyjnemu.

(c) Napięcie:

$$U = U_0 = const.$$

(d) Natężenie pola elektrycznego:

$$E_0 = \frac{U_0}{d},$$
$$E = \frac{U}{d} = \frac{U_0}{d} = E_0 = const.$$

Natężenie pola elektrycznego nie ulegnie zmianie.

14.49.R.

$$\sigma = P_n = (\varepsilon_r - 1)\varepsilon_0 \frac{U}{l}$$

$$U = \frac{\sigma \cdot l}{(\varepsilon_r - 1)\varepsilon_0} = 1750V$$

Wskazówka: Gęstość ładunków polaryzacyjnych równa się składowej normalnej wektora polaryzacji.

14.50.R.

$$E = E_0 + \frac{P}{\varepsilon_0} = E_0 - \frac{np_e}{\varepsilon_0} = 43,4 \frac{MV}{m}.$$

14.51.R.

$$\sigma = P_n = \varepsilon_0 \kappa \frac{U}{l} = 1,06 \cdot 10^{-4} \frac{C}{m^2}$$

$$U_1 = U\varepsilon_r = 2800V$$

14.52.R. Kondensator płaski o okładkach zanurzonych częściowo w cieczy dielektrycznej można rozpatrywać jako dwa kondensatory połączone równolegle. Dlatego $U_1 = U_2$, czyli:

$$\frac{Q_1}{C_1} = \frac{Q_2}{C_2},$$

skąd:

$$\frac{Q_1}{Q_2} = \frac{C_1}{C_2} = \frac{(H-h)}{\varepsilon_r h}.$$

Ponieważ $U_1 = U_2$, więc:

$$E_1 = E_2 = \frac{U}{d}.$$

14.53.R.

(a) Ładunki na okładkach kondensatora równają się:

$$q = C_0 U_0 = \frac{\varepsilon_0 S}{d} U_0 = 8,9 \cdot 10^{-10} C$$

(b) Wartości: natężenia pola elektrycznego w dielektrykach:

$$E_1 = \frac{E_0}{\varepsilon_{r1}} = \frac{U_0}{\varepsilon_{r1}d_0} = 5 \cdot 10^3 \frac{V}{m}$$
$$E_2 = \frac{E_0}{\varepsilon_{r2}} = \frac{U_0}{\varepsilon_{r2}d} = 2,5 \cdot 10^3 \frac{V}{m}$$

indukcji elektrycznej:

$$D_1 = \varepsilon_0 \varepsilon_{r1} E_1 = \varepsilon_0 \frac{U_0}{d} = 8,85 \cdot 10^{-8} \frac{C}{m^2}$$
$$D_2 = \varepsilon_0 \varepsilon_{r2} E_2 = \varepsilon_0 \frac{U_0}{d} = 8,85 \cdot 10^{-8} \frac{C}{m^2},$$

czyli $D_1 = D_2$.

wektora polaryzacji:

$$P_1 = \varepsilon_0 (\varepsilon_{r1} - 1) E_1 = 4,4 \cdot 10^{-8} \frac{C}{m^2}$$
$$P_2 = \varepsilon_0 (\varepsilon_{r2} - 1) E_2 = 6,64 \cdot 10^{-8} \frac{C}{m^2}$$

(c) Napięcie na kondensatorze po włożeniu płytek:

$$U = \int_0^{d_1} E_1 dx + \int_{d_1}^d E_2 dx = E_1 d_1 + E_2 d_2 =$$
$$= \frac{U_0}{\varepsilon_{r1}d} d_1 + \frac{U_0}{\varepsilon_{r2}d} d_2 = \frac{U_0}{d} \left(\frac{d_1}{\varepsilon_{r1}} + \frac{d_2}{\varepsilon_{r2}} \right)$$

Podstawiając wartości liczbowe:

$$U = 30V.$$

(d) Pojemność kondensatora z dielektrykiem liczymy z wzoru definicyjnego:

$$C = \frac{Q}{U} = \frac{Q_0}{U_0} \frac{d}{\frac{d_1}{\varepsilon_{r1}} + \frac{d_2}{\varepsilon_{r2}}} = C_0 \frac{d}{\frac{d_1}{\varepsilon_{r1}} + \frac{d_2}{\varepsilon_{r2}}} = \frac{\varepsilon_0 S}{\frac{d_1}{\varepsilon_{r1}} + \frac{d_2}{\varepsilon_{r2}}} = 3 \cdot 10^{-11} F$$